

有心力

September 16, 2015

Contents

1	有心力简介	1
2	有心力的特点	1
2.1	有心力作用下质点的角动量守恒 $\dot{\vec{J}} = 0$	1
2.2	有心力作用下质点在一个平面内运动	2
2.3	有心力是保守力	2
2.4	有心力作用下矢径 r 随时间的变化等价于质点在有效势场中的一维运动	3
2.5	有心力场中质点运动方程的一般求解方法	4
2.6	有心立场中质点运动轨道的有限性	4
2.7	有心力场中质点运动轨道的稳定性	5
2.8	有心力场中质点运动轨道的闭合性	6
3	开普勒问题：平方反比引力	7
4	α 粒子散射问题：平方反比斥力	8

1 有心力简介

有心力定义：质点在运动过程中，如果力的作用线任何时刻都通过某一固定点 O ，则这种力叫有心力，对应的固定点为力心。取力心为坐标系原点，有心力可以表示为

$$\vec{F}(r) = F(r)\hat{e}_r, \quad (1)$$

对于一般的物理系统，有心力的大小仅与矢径 r 有关，与作用力的方向无关。

2 有心力的特点

2.1 有心力作用下质点的角动量守恒 $\dot{\vec{J}} = 0$

证明：根据角动量定理

$$\dot{\vec{J}} = \vec{M} = \vec{r} \times \vec{F}, \quad (2)$$

对于有心力， $\vec{F} = F(r)\hat{e}_r$ ，而位矢 $\vec{r} = r\hat{e}_r$

$$\dot{\vec{J}} = r\hat{e}_r \times F(r)\hat{e}_r = 0, \quad (3)$$

因此角动量不随时间变化，角动量守恒。

2.2 有心力作用下质点在一个平面内运动

证明：有心力作用下，角动量守恒，

$$\vec{J} = C_1 \vec{i} + C_2 \vec{j} + C_3 \vec{k}, \quad (4)$$

上式中 C_i 是常数。质点的位矢为，

$$\vec{r} = x \vec{i} + y \vec{j} + z \vec{k}, \quad (5)$$

根据角动量的定义， $\vec{J} = \vec{r} \times \vec{p}$ ，我们有 $\vec{r} \cdot \vec{J} = 0$ 。代入 \vec{r} 和 \vec{J} 的表达式，我们得到

$$C_1 x + C_2 y + C_3 z = 0, \quad (6)$$

上式是平面的方程。这样我们证明了，有心力作用下的质点在一个固定平面内运动。

2.3 有心力是保守力

证明：极坐标系下，

$$\dot{\vec{r}} = \frac{d\vec{r}}{dt} = \dot{r} \hat{e}_r + r \dot{\theta} \hat{e}_\theta, \quad (7)$$

$$d\vec{r} = dr \hat{e}_r + r d\theta \hat{e}_\theta, \quad (8)$$

因此有心力沿从 A 点到 B 点的路径做的功为，

$$W = \int_A^B \vec{F} \cdot d\vec{r} \quad (9)$$

$$= \int_A^B F(r) \hat{e}_r \cdot (dr \hat{e}_r + r d\theta \hat{e}_\theta) \quad (10)$$

$$= \int_A^B F(r) dr \quad (11)$$

$$= \tilde{F}(r_B) - \tilde{F}(r_A), \quad (12)$$

上述中 $\tilde{F}(r) = \int F(r) dr$ 是一维函数 $F(r)$ 的不定积分。按照上式，有心力做功仅与 A 和 B 两点的矢径 r_A 和 r_B 有关，与具体路径无关，因此有心力 \vec{F} 是保守力，必然存在标量函数(有心力对应的势能) $U(r)$ ，满足

$$\vec{F}(r) = -\nabla U(r), \quad (13)$$

根据极坐标系中梯度算子 ∇ 的形式，

(详见 https://en.wikipedia.org/wiki/Del_in_cylindrical_and_spherical_coordinates)

$$\nabla = \frac{\partial}{\partial r} \hat{e}_r + \frac{1}{r} \frac{\partial}{\partial \theta} \hat{e}_\theta \quad (14)$$

上式可以写为，

$$\vec{F}(r) = -\nabla U(r) \quad (15)$$

$$= -\frac{\partial U(r)}{\partial r} \hat{e}_r - \frac{1}{r} \frac{\partial U(r)}{\partial \theta} \hat{e}_\theta \quad (16)$$

$$= -\frac{\partial U(r)}{\partial r} \hat{e}_r, \quad (17)$$

$$(18)$$

也即有

$$F(r) = -\frac{dU(r)}{dr}. \quad (19)$$

2.4 有心力作用下矢径 r 随时间的变化等价于质点在有效势场中的一维运动

$$m\ddot{\vec{r}} = -\frac{d}{dr}V(r). \quad (20)$$

证明：根据上一小节的结论，有心力作用下质点在一个固定平面内运动，因此我们可以取这个平面内的极坐标系，列出牛顿运动方程，

$$m\vec{a} = \vec{F}, \quad (21)$$

$$ma_r\hat{e}_r + a_\theta\hat{e}_\theta = F(r)\hat{e}_r \quad (22)$$

带入极坐标系中径向加速度和角向加速度的形式，我们得到

$$\begin{cases} m(\ddot{r} - r\dot{\theta}^2) = F(r), \\ m\frac{1}{r}\frac{d}{dt}(r^2\dot{\theta}) = 0. \end{cases} \quad (23)$$

因为 $\vec{J} = \vec{r} \times \vec{p} = r\hat{e}_r \times m(\dot{r}\hat{e}_r + r\dot{\theta}\hat{e}_\theta) = mr^2\dot{\theta}\hat{e}_z = J\hat{e}_z$ ，因此上边第二式可以变为

$$\frac{1}{r}J = 0, \quad (24)$$

它实际上反映了角动量守恒。同时，我们能够得到角速度

$$\dot{\theta} = \frac{J}{mr^2} \quad (25)$$

对于第一式，将角速度形式代入，我们得到

$$m\ddot{r} - \frac{J^2}{mr^3} = F(r) \quad (26)$$

上式左边第 2 项是离心力项，它也是有心力（只在 \hat{e}_r 方向有分量），因此它也是保守力，有对应的势能。易见，

$$-\frac{J^2}{mr^3} = \frac{d}{dr} \frac{J^2}{2mr^2}, \quad (27)$$

同时方程的右边可以写为 $F(r) = -\frac{dU(r)}{dr}$ 。将左边第 2 项移到右边，合并，得到

$$m\ddot{r} = -\frac{d}{dr} \left[U(r) + \frac{J^2}{2mr^2} \right], \quad (28)$$

$$m\ddot{r} = -\frac{d}{dr}V(r), \quad (29)$$

上式中 $V(r) \equiv U(r) + \frac{J^2}{2mr^2}$ ，是系统的有效势能，它包含有心力 $\vec{F}(r)$ 对应势能和离心力对应势能。因此，质点在有心力场中运动，矢径方向的变化等价于有效势能 $V(r)$ 作用下质点的一维运动。

现在，质点受到有效势 $V(r)$ 作用，也即仅受保守力作用，质点的机械能守恒，因此

$$\frac{1}{2}m\dot{r}^2 + V(r) = E, \quad (30)$$

不随时间改变。因此，质点径向速度为

$$\dot{r} = \sqrt{\frac{2(E - V(r))}{m}} \quad (31)$$

2.5 有心力场中质点运动方程的一般求解方法

根据上节矢径满足的微分方程，可以解出矢径变化的方程 $r(t)$ 。
根据角速度表达式，

$$\dot{\theta} = \frac{J}{mr^2}, \quad (32)$$

我们作如下变换，

$$\dot{\theta} = \frac{d\theta}{dt} = \frac{d\theta}{dr} \frac{dr}{dt} = \frac{d\theta}{dr} \dot{r} \quad (33)$$

$$= \frac{d\theta}{dr} \sqrt{\frac{2(E - V(r))}{m}}, \quad (34)$$

结合上边两式，我们得到，

$$\frac{J}{mr^2} = \frac{d\theta}{dr} \sqrt{\frac{2(E - V(r))}{m}}, \quad (35)$$

$$d\theta = \frac{Jdr}{r^2} \frac{1}{\sqrt{2m(E - V(r))}} \quad (36)$$

这样我们得到了极角变化与矢径变化的关系。两边积分，有

$$\int_{r_A}^{r_B} d\theta = \int_{r_A}^{r_B} \frac{J}{r^2} \frac{dr}{\sqrt{2m(E - V(r))}}, \quad (37)$$

$$\Delta\theta = \int_{r_A}^{r_B} \frac{J/r^2 dr}{\sqrt{2m(E - V(r))}}, \quad (38)$$

假设初始时刻位矢 r_0 ，极角为 0；任意时刻位矢 r ，极角为

$$\theta(r) = \int_{r_0}^r \frac{J/r^2 dr}{\sqrt{2m(E - V(r))}}. \quad (39)$$

总之，求解有心立场中质点的运动方程，首先通过矢径的运动方程求解 $r(t)$ ，然后根据上式求解任意时刻的极角 $\theta(t)$ ，从而得到质点完整的运动方程 $\{r(t), \theta(t)\}$ 。

2.6 有心立场中质点运动轨道的有限性

如果质点在运动过程中，矢径 r 总保持有限值，那么质点的运动轨道是有限的。
根据上式中矢径变化的方程，

$$m\ddot{r} = -\frac{d}{dr}V(r), \quad (40)$$

$$V(r) = U(r) + \frac{J^2}{2mr^2}, \quad (41)$$

同时考虑到系统的能量守恒，

$$E = \frac{1}{2}m\dot{r}^2 + V(r), \quad (42)$$

结合我们在 §1.8 节的讨论，如果势能 $V(r)$ 存在势阱，而质点的能量又小于势阱两边的势垒高度，则质点可以束缚在势阱内运动，对应的矢径 r 是有限的。运动轨道有限的关键条件是有效势能 $V(r)$ 是否存在势垒。我们讨论一种简单情况，假定有心力势能 $U(r)$ 是幂函数，

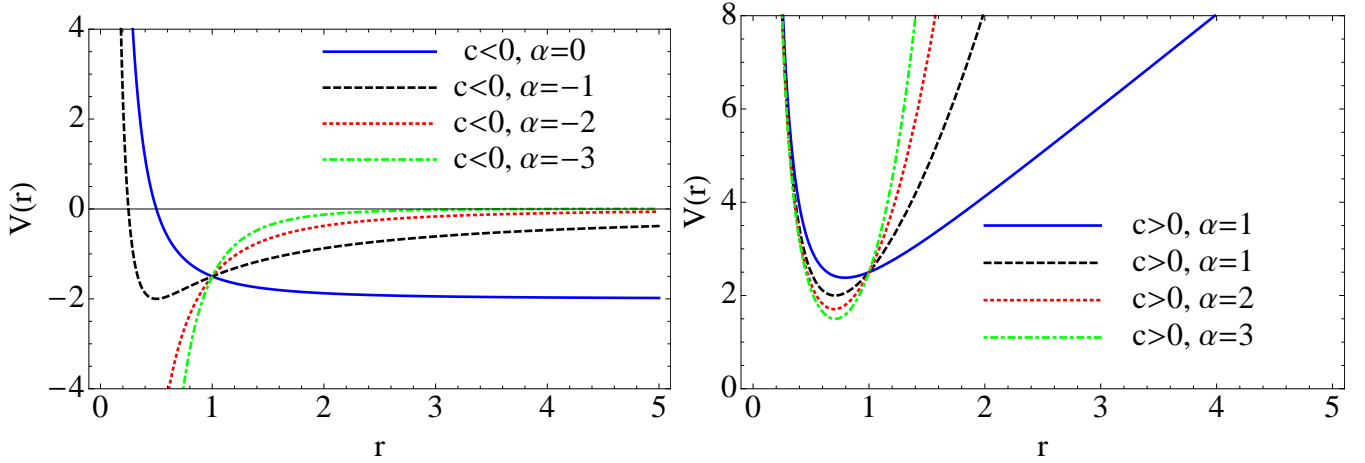
$$V(r) = cr^\alpha + \frac{J^2}{2mr^2} \quad (43)$$

因此有心力大小为,

$$\vec{F} = -\nabla U(r) = -c\alpha r^{\alpha-1} \hat{e}_r, \quad (44)$$

因此, 当 $c\alpha > 0$ 时, $\hat{e}_r \cdot \vec{F} < 0$, 对应吸引力; 当 $c\alpha < 0$ 时, 对应排斥力。并且, 因为 $V(r)$ 中第二项随 r 的减小而增大, 因此有心力势能 $U(r)$ 必须随着 r 的增大而增大, 这样两项叠加之后才有可能在中间位置产生一个势阱。这就要求 $dU(r)/dr > 0$, 即 $c\alpha > 0$ 。因此, 有心力必须是吸引力, 才能够使质点的矢径落在一个有限区域内。

假设角动量为 1, 下图画出几种特殊情况下的有效势能形式,



如图所示, 对于 $c < 0$ 、 $\alpha < 0$ 的情况, 只有当 $\alpha = -1$, 势能曲线中存在势阱; 而对于 $c > 0$ 的情况, 所有 $\alpha > 0$ 的势能曲线均有势阱。

下面, 我们定量分析势阱存在的条件。首先 $V(r)$ 必须有极小值, 这就要求

$$V'(r) = c\alpha r^{\alpha-1} - \frac{J^2}{mr^3} = 0, \quad (45)$$

$$V''(r) = c\alpha(\alpha - 1)r^{\alpha-2} + \frac{3J^2}{mr^4} > 0, \quad (46)$$

两式结合, 得到 $\alpha > -2$ 。因此当 $c < 0$ 的时候质点轨道有限 (也即有效势能 $V(r)$ 存在势阱) 的必要条件是 $-2 < \alpha < 0$ 。

类似的方法分析 $c > 0$ 的情况, 我们发现只要 $\alpha > 0$ 有效势能 $V(r)$ 就必然存在势阱。因此 $c > 0$ 时质点轨道有限的必要条件是 $\alpha > 0$ 。

除了对 α 的限制, 为确保质点在势阱中运动, 还要求质点能量不超过势阱两边势垒的高度。对于 $c < 0$ 的情况, 我们可以看到, 当 $r \rightarrow \infty$ 时 $V(r) \rightarrow 0$, 因此势阱右边有效势能最高点为 0。因此, 确保质点在势阱中运动, 要求 $E < 0$; 对于 $c > 0$ 的情况, 势阱两边的最高势能均趋近于无穷大, 因此只要能量大于势阱最低点的势能, 也即 $V(r_0)$, 质点就必然在有限区域内运动。上式中 r_0 可以由前边的 $V'(r) = 0$ 求得,

$$r_0 = \left(\frac{J^2}{c\alpha m} \right)^{\frac{1}{\alpha+2}}. \quad (47)$$

2.7 有心力场中质点运动轨道的稳定性

轨道稳定性的含义是: 当质点受到一个微扰力作用后, 质点的运动轨道仍然位于力作用之前的轨道附近。

地球围绕太阳的运动是稳定的, 因为地球每时每刻都受到来自太阳之外的星体的微小引力作用, 而地球轨道没有明显的变动。

一维情况下, 处于势能最低点的质点的运动是稳定的, 施加一个微小冲量之后质点仍在势能最低点附近振动; 处于势能最高点的质点运动是不稳定的, 施加一个微小冲量后质点会连续运动偏离势能最高点, 直到运动到一个势能最低点位置, 在最低点附近作大幅度振动。

如果运动轨道是稳定的, 微小的力带来质点运动状态微小的改变; 如果运动不稳定, 不管多小的力都能够带来质点运动状态巨大的改变。

根据上一小节我们对有效势能的讨论，我们可以得到结论，假如质点在势阱中运动，那么施加微扰之后质点仍然束缚在势阱内部，轨道是稳定的。我们直接得到了轨道稳定性的条件，

$$\begin{cases} c < 0, -2 < \alpha < 0, & F = \frac{c\alpha}{r^{|\alpha|+1}} \\ c > 0, \alpha > 0, & F = c\alpha r^{\alpha-1}. \end{cases} \quad (48)$$

这样我们得到与周衍柏书上同样的结论：平方反比力和线性力作用下质点运动稳定，立方反比力作用下不稳定

2.8 有心力场中质点运动轨道的闭合性

如果质点经过有限时间运动之后，能够回到起始点，那么质点运动轨道是闭合的。

闭合轨道必然是有限的，但有限轨道未必是闭合的。

根据轨道有限，结合上边小节的讨论，我们知道质点必然在 $V(r)$ 的一个势阱内运动。根据机械能守恒

$$\frac{1}{2}m\dot{r}^2 + V(r) = E, \quad (49)$$

当质点运动到最大势能处时， $E = V(r)$ ，质点速度 $\dot{r} = 0$ ，质点到达 r 的最大值或最小值。解 $E = V(r)$ ，得到矢径最大值 r_{\max} 和最小值 r_{\min} 。

根据前边极角对矢径变化的依赖关系，

$$\Delta\theta = \int_{r_A}^{r_B} \frac{J/r^2 dr}{\sqrt{2m(E - V(r))}}, \quad (50)$$

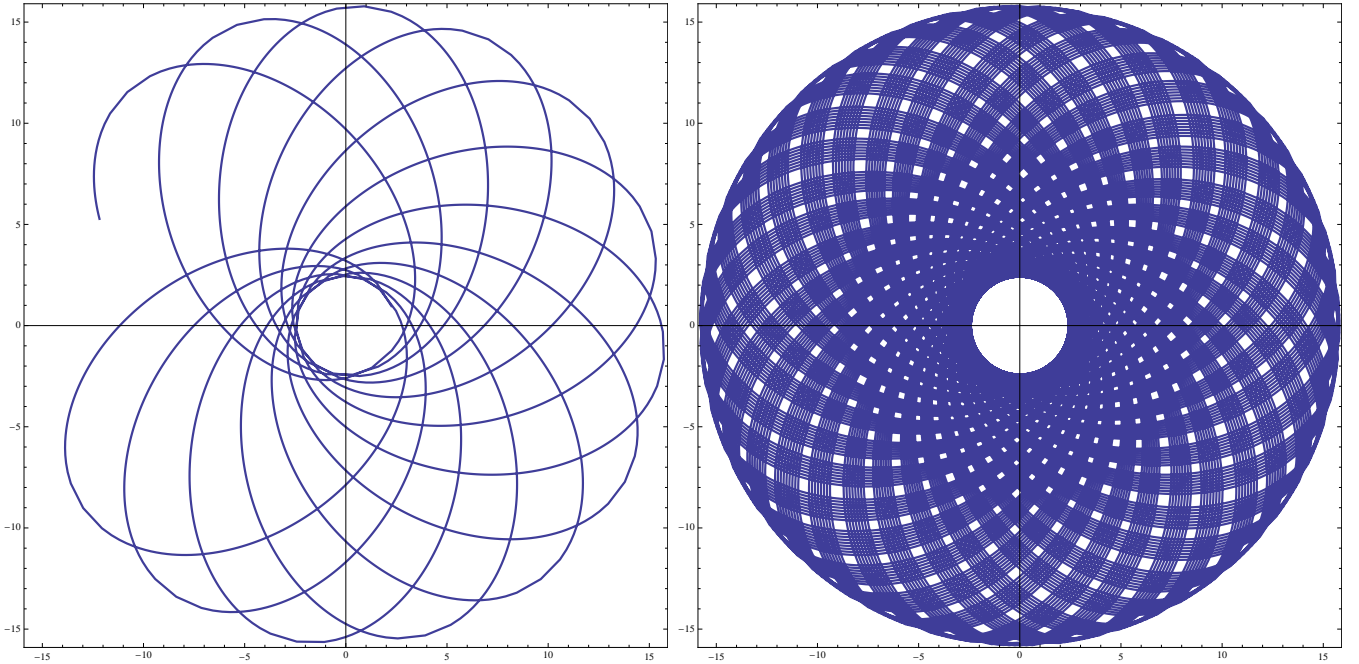
我们考虑质点从矢径最小的位置开始，运动到矢径最大值，然后再运动回矢径最小值，这记为一个径向运动周期。经历一个径向运动周期，极角的改变为，

$$\Delta\theta = 2 \int_{r_{\min}}^{r_{\max}} \frac{J/r^2 dr}{\sqrt{2m(E - V(r))}}, \quad (51)$$

如果质点在一个径向运动周期内对应的 $\Delta\theta = 2\pi$ ，那么质点刚好回到原来的位置；如果 $\Delta\theta = \pi$ ，那么质点经过两个径向运动周期之后回到起始位置；如果 $\Delta\theta = \pi n/m$ (m, n 是整数)，那么质点经过 $2m$ 个径向周期后必然回到原点。

综上，当一个径向运动周期内对应的极角改变是 π 的有理数倍时，轨道闭合。

一般情况下，轨道不闭合。例如，我们取 $U(r) = \frac{c}{r^{1.1}}$ ，得到的轨道如图所示



可以证明，对于形如 $U(r) = cr^\alpha$ 的势能，只有两种特殊情况下轨道是闭合的，

$$-\frac{c}{r}, \quad kr. \quad (c > 0, k > 0) \quad (52)$$

分别对应万有引力场(静电引力场)和简谐振动的线性恢复力。具体证明稍显复杂，我们这里不做展开，有兴趣的同学可以在阿诺德的《经典力学的数学方法》§8.D 小节找到完整的证明。

3 开普勒问题：平方反比引力

万有引力为平方反比引力，质点在万有引力场中的运动问题被称作开普勒问题。
万有引力形式为，

$$\vec{F}(r) = -\frac{k^2 m}{r^2} \hat{e}_r, \quad (53)$$

上式中 $k^2 = Gm_s$ ，其中 G 是万有引力常数， m_s 是太阳质量。因为太阳质量远远大于地球（视作质点）质量，因此可以暂时假定太阳不动，质点在不随时间变化的稳恒引力场中运动。

对应的引力势能为

$$U(r) = -\frac{k^2 m}{r}, \quad (54)$$

将其代入下式，得到

$$\theta(r) = \int_{r_0}^r \frac{J/r^2 dr}{\sqrt{2m(E - V(r))}} \quad (55)$$

$$= \int_{r_0}^r \frac{J/r^2 dr}{\sqrt{2m(E + \frac{k^2 m}{r} - \frac{J^2}{2mr^2})}} \quad (56)$$

$$= - \int_{J/r_0}^{J/r} \frac{d(J/r)}{\sqrt{2mE + \frac{2m^2 k^2}{r} - \frac{J^2}{r^2}}}, \quad (57)$$

易见等号右边仅与 $1/r$ 有关，因此我们定义 $\tilde{u} = J/r$ ，上式变为

$$\theta(r) = - \int_{\tilde{u}_0}^{\tilde{u}} \frac{d\tilde{u}}{\sqrt{2mE + \frac{2m^2 k^2}{J} \tilde{u} - \tilde{u}^2}} \quad (58)$$

$$= \arccos \frac{\tilde{u} - mk^2/J}{\sqrt{2mE + \frac{m^2 k^4}{J^2}}} \quad (59)$$

取 $p = \frac{J^2}{mk^2}$ ， $e = \sqrt{1 + \frac{2EJ^2}{mk^4}}$ ，则上式变为

$$\cos \theta = \frac{J/r - mk^2/J}{\frac{mk^2}{J} \sqrt{\frac{2EJ^2}{mk^4} + 1}} \quad (60)$$

$$= \frac{1}{e} \left(\frac{J^2}{mk^2 r} - 1 \right) \quad (61)$$

$$= \frac{1}{e} \left(\frac{p}{r} - 1 \right) \quad (62)$$

上述方程可以化为简单的形式

$$r = \frac{p}{1 + e \cos \theta}, \quad (63)$$

正是周衍柏书中的参数方程形式，即圆锥曲线的方程。 e 取不同值的时候，对应曲线分别为椭圆、抛物线以及双曲线。而根据上边 e 的定义，我们马上知道

$$e = \sqrt{1 + \frac{2EJ^2}{mk^4}}, \quad \begin{cases} e > 1, \text{双曲线} & (E > 0) \\ e = 1, \text{抛物线} & (E = 0) \\ e < 1, \text{椭圆} & (E < 0) \end{cases} \quad (64)$$

因此，只要知道 E 的正负，就可以知道轨道的形状。

现在，我们讨论一个一般的问题：距离力心 r_0 处的质点，速度大小为 v_0 ，速度与位矢夹角为 θ_0 ，求参数方程的形式。

这个问题最直接的做法就是直接应用参数方程公式。首先可以得到角动量和能量大小，

$$J = |\vec{r} \times \vec{p}| = mr_0^2 v_0 \sin \theta_0, \quad (65)$$

$$E = \frac{1}{2}mv_0^2 - U(r_0) = \frac{1}{2}mv_0^2 - \frac{k^2}{r_0}. \quad (66)$$

首先利用取 p 和 e 的定义式，

$$p = \frac{J^2}{mk^2}, \quad (67)$$

$$e = \sqrt{1 + \frac{2EJ^2}{mk^4}} \quad (68)$$

求出参数 e 和 p 。剩下的工作就是确定近日点对应的极角 $\tilde{\theta}_0$ 。取质点初始位矢方向沿 x 轴，将初始坐标带入公式，

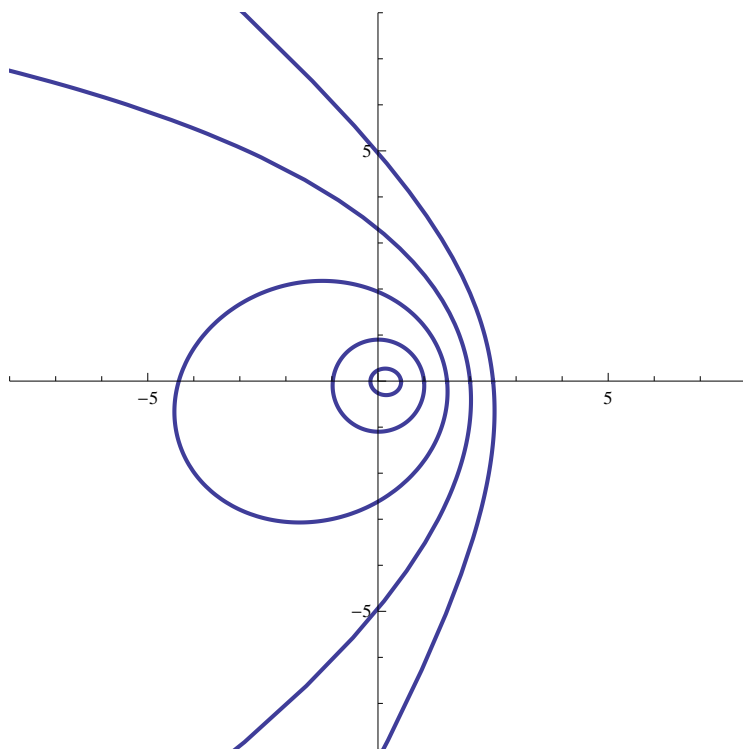
$$r_0 = \frac{p}{1 + e \cos(0 - \tilde{\theta}_0)}, \quad (69)$$

$$\tilde{\theta}_0 = \arccos\left(\frac{p}{er_0} - \frac{1}{e}\right), \quad (70)$$

利用上边最后一式求出 θ_0 ，我们就能得到曲线的参数方程，

$$r = \frac{p}{1 - e \cos(\theta - \tilde{\theta}_0)}, \quad (71)$$

下面是一个简单的例子，圆锥曲线的更多讨论见周衍柏教材。



4 α 粒子散射问题：平方反比斥力

见教材。